



Laboratorium EMVO Sp. J. Urbański, Pawelak
ul. Jasna 1
00-013 Warszawa

tel. +48 22 780 29 64
e-mail: laboratorium@emvo.pl



AB 1630

Sprawozdanie z pomiarów pól elektromagnetycznych - środowisko nr 79/11/OŚ/2023 -P4-W



| | |
|--------------------------|--|
| Nr i nazwa stacji | LUB1121A |
| Adres | Lublin, Koncertowa 29, dz. nr 19/3, obr. 0004.AR_5, pow. Lublin, woj. lubelskie |
| Opracowanie | Specjalista ds. pomiarów |
| Autoryzacja | Kierownik Laboratorium |
| Podpis | Podpis jest prawidłowy Dokument podpisany przez Data: 2023.11.23 16:08:35 CET Powód: Zatwierdzam dokument |
| Data | 2023-11-23 |

Spis treści

| | |
|---|---|
| 1. Informacje ogólne..... | 3 |
| 2. Podstawa prawna. | 3 |
| 3. Opis pomiarów..... | 3 |
| 4. Zróżnicowanie dopuszczalne poziomy pól elektromagnetycznych..... | 5 |
| 5. Charakterystyka źródeł PEM..... | 5 |
| 6. Wyniki pomiarów..... | 5 |
| 7. Stwierdzenie zgodności | 6 |
| 8. Oświadczenie..... | 8 |
| 9. Spis załączników. | 8 |

1. Informacje ogólne.

| | |
|---|--|
| Zleceniodawca | P4 sp. z o.o., ul. Wynałazek 1, 02-677 Warszawa osoba udzielająca informacji- |
| Istotne informacje dostarczone przez klienta | komplet informacji niezbędnych do wykonania pomiarów i opracowania sprawozdania |
| Dane otrzymane od klienta mogące mieć wpływ na ważność wyników | Dane anten sektorowych, dane anten radioliniowych, parametry pracy instalacji, ustawienie pochylenia anten |
| Prowadzący instalację | P4 sp. z o.o., ul. Wynałazek 1, 02-677 Warszawa |
| Lokalizacja obiektu | Lublin, Koncertowa 29, dz. nr 19/3, obr. 0004.AR_5, pow. Lublin, woj. lubelskie |
| Miejsce instalacji anten | Wieża rurowa |
| Miejsce instalacji urządzeń | Outdoor |
| Osoby wykonujące pomiar | |
| Data wykonania pomiaru | 23.11.2023 |
| Temperatura na początku pomiaru [°C] | -0,5 |
| Temperatura na koniec pomiaru [°C] | 0,8 |
| Warunki atmosferyczne | Brak opadów |
| Wilgotność na początku pomiaru [%] | 77,0 |
| Wilgotność na koniec pomiaru [%] | 74,3 |
| Godzina na początku pomiaru | 8:58 |
| Godzina na koniec pomiaru | 11:46 |
| Inne źródła pól elektromagnetycznych oznaczone na załączniku graficznym | Występują |
| Parametry pracy instalacji | Tryb eksploatacyjny |

2. Podstawa prawna.

2.1 Normy i rozporządzenia:

- Ustawa z dnia 27 kwietnia 2001 r. Prawo Ochrony Środowiska (Dz. U. z 2022 r., poz 2556 z późn. zm.)
- Rozporządzenia Ministra Zdrowia z dnia 17 grudnia 2019 r. w sprawie dopuszczalnych poziomów pól elektromagnetycznych w środowisku (Dz. U. z 2019 r., poz. 2448),
- Rozporządzenie Ministra Klimatu z dnia 17.02.2020 r. w sprawie sposobów sprawdzania dotrzymania dopuszczalnych poziomów pól elektromagnetycznych w środowisku (Dz. U. z 2022 r., poz. 2630).

3. Opis pomiarów

| | |
|--------------------------|---|
| Metodologia pomiarowa | Pomiary w oparciu o Rozporządzenie Ministra Klimatu z dnia 17 lutego 2020 r. w sprawie sposobów sprawdzania dotrzymania dopuszczalnych poziomów pól elektromagnetycznych w środowisku (Dz.U. 2022 poz. 2630). |
| Cel badań | Określenie wartości natężenia pola elektrycznego w miejscach dostępnych dla ludności. |
| Opis zestawu pomiarowego | Miernik Narda NBM 550, Sonda EF-6092, o zakresie pomiarowym 0,7 V/m – 300V/m pracująca w paśmie 0,1 – 90 GHz, świadectwo wydane przez Laboratorium Wzorców i Metrologii Pola Elektromagnetycznego, Instytut Telekomunikacji, Teleinformatyki i Akustyki Politechniki Wrocławskiej. Świadectwo ważne do 10.06.2024 r. Miernik Narda NBM 550, Sonda EF-6092 pracująca w zakresie temperatury -10°C - +50°C oraz wilgotności 5% - 95% Niepewność rozszerzona wynosi 57,2% przy poziomie ufności 95% z uwzględnieniem współczynnika rozszerzenia k=2. |
| Wyposażenie pomocnicze | Termohigrometr Bestone, Nr. inwentarzowy 03/WL, nr identyfikacyjny 1222436, typ: GM1362-EN-00, świadectwo wzorcowania z dn. 22.12.2015 r. wydane przez Laboratorium Pomiarowe „MUTECH”. Przymiar wstępowy STABILA, Nr. inwentarzowy 06/WL, nr identyfikacyjny 06WL, świadectwo wzorcowania z dn. 22.09.2021 r. wydane przez Zespół Laboratoriów wzorcujących Okręgowego Urzędu Miar w Gdyni. GPS Garmin 64s okresowo sprawdzany w punktach osnowy geodezyjnej klasy 3 na podstawie licencji punktu, zgodnie z procedurą sprawdzeń okresowych IS/PO-16-11/03. |
| Pomiary zostały wykonane | <ol style="list-style-type: none">1. na głównych i pomocniczych kierunkach pomiarowych, na kierunkach zbliżonych do azymutów anten oraz w dodatkowych pionach pomiarowych zgodnie z wymaganiami pkt 12, 13, 14 i 19 Rozporządzenia Ministra Klimatu z dnia 17 lutego 2020 r. (Dz.U. 2022 poz. 2630). Wybór i lokalizacja pionów pomiarowych, w tym znajdujących się wewnątrz lokali, zostały ustalone zgodnie z procedurą laboratorium nr PP-7.3/7.4/7.5-11, z uwzględnieniem: rodzaju badanej instalacji (w tym parametrów technicznych instalacji), lokalizacji badanej instalacji, ukształtowania terenu wokół badanej instalacji.2. na obszarze pomiarowym, dla którego, na podstawie uprzednio przeprowadzonych obliczeń stwierdzono w miejscach dostępnych dla ludności występowanie pól elektromagnetycznych o najwyższym poziomie, które pochodzą z badanej instalacji zgodnie z wymaganiami pkt 5 ppkt 2 oraz pkt 13 ppkt 1 Rozporządzenia Ministra Klimatu z dnia 17 lutego 2020 r. w sprawie sposobów sprawdzania dotrzymania dopuszczalnych poziomów pól elektromagnetycznych w środowisku (Dz.U. 2022 poz. 2630). Wyniki obliczeń nie uwzględniały parametrów pracy instalacji innych operatorów występujących na obiekcie bądź w obszarze pomiarowym.3. w miejscach dostępnych dla ludności.4. miejsca niedostępne podczas wykonywania pomiarów wskazane zostały w pkt 6 (tabeli wyniki pomiarów)5. w dodatkowych pionach pomiarowych w lokalach oraz na balkonach i tarasach, na których mogą przebywać ludzie, po poinformowaniu o planowanych pomiarach z minimum 3-dniowym wyprzedzeniem i po umożliwieniu dostępu do lokalu, balkonu lub tarasu przez jego |

dysponenta lub bez zachowania terminu wskazanego w pierwszej części zdania za zgodą dysponenta przestrzeni pomiarowej.

Sposób powiadamiania dysponentów

Zgodnie z pkt 14 Rozporządzenia Ministra Klimatu z dnia 17 lutego 2020 r. w sprawie sposobów sprawdzania dotrzymania dopuszczalnych poziomów pól elektromagnetycznych w środowisku (Dz.U. 2022 poz. 2630). poinformowano dysponentów lokali o planowanych pomiarach.
Informacji dokonano między innymi poprzez:

1. bloki mieszkalne – zawiadomienie spółdzielni mieszkaniowej, zarządcy nieruchomości, zarządu wspólnoty, umieszczenie informacji o planowanych pomiarach na tablicach ogłoszeń w klatkach schodowych bloków lub na drzwiach wejściowych,
2. biurowce, budynki użyteczności publicznej itp. - przekazanie zawiadomienia do administracji lub recepcji obiektu,
3. domy jednorodzinne, szeregowce itp.- pozostawienie informacji w skrynkach pocztowych itp. lub przekazanie osobiste.

Warunki pracy urządzeń nadawczych

Tryb pracy eksploatacyjny.

4. Zróżnicowanie dopuszczalne poziomy pól elektromagnetycznych.

Zakresy znajdują się w Dzienniku Ustaw z dnia 17 grudnia 2019 r. przedstawione są w tabeli nr 2 (Dz. U. z 2019r. poz. 2448).

| Parametr fizyczny Zakres Częstotliwości pola elektromagnetycznego | Składowa elektryczna E (V/m) | Składowa magnetyczna H (A/m) | Gęstość mocy S (W/m ²) |
|--|---------------------------------|---------------------------------|---------------------------------------|
| od 400 MHz do 2000 MHz | $1,375 \times f^{0,5}$ | $0,0037 \times f^{0,5}$ | f / 200 |
| od 2 GHz do 300 GHz | 61 | 0,16 | 10 |

5. Charakterystyka źródeł PEM.

Zgodnie z informacją otrzymaną od Klienta pomiary zostały wykonane przy ustawieniach pochylenia anten zgodnych z pkt. 13, ppkt 2 Rozporządzenia Ministra Klimatu z dnia 17 lutego 2020 roku.

Tabela 1. Anteny sektorowe – dane otrzymane od klienta

| | | | | | | | | | | | | | | | | |
|---------------------------------|---|---------------------|-------------------|-------------------|-------------------|-------------------|-------------------|-------------------|-------------------|-------------------|-------------------|-------------------|-------------------|-------------------|-------------------|-------------------|
| Charakterystyka promieniowania | | kierunkowa | | | | | | | | | | | | | | |
| Rzeczywisty czas pracy [h/dobę] | | 24 | | | | | | | | | | | | | | |
| Rodzaj wytwarzanego pola | | stacjonarne | | | | | | | | | | | | | | |
| Lp | Wyszczególnienie | sektor 1 | | | | | sektor 2 | | | | | sektor 3 | | | | |
| Nadajnik stacji bazowej: | | | | | | | | | | | | | | | | |
| 1 | Typ / Producent | RBS / SRAN Ericsson | | | | | | | | | | | | | | |
| 2 | Częstotliwość (pasmo) MHz | 2600 | 2100 | 1800 | 900 | 800 | 2600 | 2100 | 1800 | 900 | 800 | 2600 | 2100 | 1800 | 900 | 800 |
| 3 | Maksymalna moc nadawana na sektor [dBm] | 52,04 | 53,01 | 53,01 | 46,02 | 49,03 | 52,04 | 53,01 | 53,01 | 46,02 | 49,03 | 52,04 | 53,01 | 53,01 | 46,02 | 49,03 |
| Obciążenie: | | | | | | | | | | | | | | | | |
| 1 | Typ anteny | Huawei ATR4518R13 | | | | | Huawei ATR4518R13 | | | | | Huawei ATR4518R13 | | | | |
| 2 | Producent anteny | Huawei | | | | | Huawei | | | | | Huawei | | | | |
| 3 | Nazwa anteny | 11_G HLNT V | 11_G HLNT V | 11_G HLNT V | 11_G HLNT V | 11_G HLNT V | 21_G HLNT V | 21_G HLNT V | 21_G HLNT V | 21_G HLNT V | 21_G HLNT V | 31_G HLNT V | 31_G HLNT V | 31_G HLNT V | 31_G HLNT V | 31_G HLNT V |
| 4 | Ilość anten | 1 | | | | | 1 | | | | | 1 | | | | |
| 5 | Azymut | 0 | | | | | 120 | | | | | 245 | | | | |
| 6 | Zakres kątów pochylenia anten [°] | 0,00-10,00 | 0,00-10,00 | 0,00-10,00 | 0,00-14,00 | 0,00-14,00 | 0,00-10,00 | 0,00-10,00 | 0,00-10,00 | 0,00-14,00 | 0,00-14,00 | 0,00-10,00 | 0,00-10,00 | 0,00-10,00 | 0,00-14,00 | 0,00-14,00 |
| 7 | Wysokość zainst. n.p.t. [m] | 28,00 | | | | | 28,00 | | | | | 28,00 | | | | |
| 8 | EIRP [W] | 36719 | | | | | 36719 | | | | | 36719 | | | | |

Tabela 2. Anteny radioliniowe – dane otrzymane od klienta

| | | | | | | | |
|---------------------------------|------------------|---------------------------|---------------------|---------------|---------------------|------------|------------------------|
| Charakterystyka promieniowania | | | | kierunkowa | | | |
| Rzeczywisty czas pracy [h/dobę] | | | | 24 | | | |
| Rodzaj wytwarzanego pola | | | | stacjonarne | | | |
| Linia radiowa | | | | Antena | | | |
| Lp | typ/producent | częstotliwość pracy [GHz] | moc wyjściowa [dBm] | typ/producent | średnica anteny [m] | azymut [°] | wysokość zainstal. [m] |
| 1 | OPTIX RTN/HUAWEI | 80 | 18 | A80S03/Huawei | 0,3 | 177 | 29,20 |

6. Wyniki pomiarów.

Wyniki pomiarów pól elektromagnetycznych dla celów ochrony środowiska przedstawia poniższa tabela. Piony pomiarowe zostały przedstawione w zał. 2.

| Nr PP | Pole-E [V/m] | Pole-E, +U [V/m] | Pole-H [A/m] | Pole-H +U [A/m] | Wys. pomiaru [m] | Opis pionu | Uwagi | WM _E | WM _H |
|-------|--------------|------------------|--------------|-----------------|------------------|--------------------------------|--|-----------------|-----------------|
| 1 | 1,2 | 1,89 | 0,003 | 0,005 | 0,3-2,0 | N:51°16'27.1" E:22°32'36.5" | otoczenie stacji bazowej - 100m wzdłuż gł. osi promieniowania - GKP | 0,067 | 0,069 |
| 2 | 1,5 | 2,36 | 0,004 | 0,006 | 0,3-2,0 | N:51°16'28.7" E:22°32'36.5" | otoczenie stacji bazowej - 150m wzdłuż gł. osi promieniowania - GKP | 0,084 | 0,086 |
| 3 | 1,7 | 2,67 | 0,005 | 0,007 | 0,3-2,0 | N:51°16'30.8" E:22°32'36.6" | otoczenie stacji bazowej - 215m wzdłuż gł. osi promieniowania - GKP | 0,095 | 0,097 |
| 4 | 1,8 | 2,83 | 0,005 | 0,008 | 0,3-2,0 | N:51°16'31.6" E:22°32'36.7" | otoczenie stacji bazowej - 240m wzdłuż gł. osi promieniowania - GKP | 0,101 | 0,103 |
| 5 | 1,2 | 1,89 | 0,003 | 0,005 | 0,3-2,0 | N:51°16'22.9" E:22°32'38.4" | otoczenie stacji bazowej - 50m wzdłuż gł. osi promieniowania - GKP | 0,067 | 0,069 |

„Bez pisemnej zgody Laboratorium niniejsze sprawozdanie nie może być powielane inaczej, jak tylko w całości. Ponadto wyniki dotyczą tylko badanych obiektów przywołanych w niniejszym sprawozdaniu z badań”

| Nr PP | Pole-E [V/m] | Pole-E, +U [V/m] | Pole-H [A/m] | Pole-H +U [A/m] | Wys. pomiaru [m] | Opis pionu | Uwagi | WM _E | WM _H |
|-------|--------------|------------------|--------------|-----------------|------------------|--------------------------------|--|-----------------|-----------------|
| 6 | 1,1 | 1,73 | 0,003 | 0,005 | 0,3-2,0 | N:51°16'22.0" E:22°32'40.5" | otoczenie stacji bazowej - 100m wzdłuż gł. osi promieniowania - GKP | 0,062 | 0,063 |
| 7 | 0,8 | 1,26 | 0,002 | 0,003 | 0,3-2,0 | N:51°16'21.2" E:22°32'42.7" | otoczenie stacji bazowej - 150m wzdłuż gł. osi promieniowania - GKP | 0,045 | 0,046 |
| 8 | 0,8 | 1,26 | 0,002 | 0,003 | 0,3-2,0 | N:51°16'20.5" E:22°32'44.5" | otoczenie stacji bazowej - 190m wzdłuż gł. osi promieniowania - GKP | 0,045 | 0,046 |
| 9 | 0,8 | 1,26 | 0,002 | 0,003 | 0,3-2,0 | N:51°16'19.4" E:22°32'47.1" | otoczenie stacji bazowej - 250m wzdłuż gł. osi promieniowania- GKP | 0,045 | 0,046 |
| 10 | 1,0 | 1,57 | 0,003 | 0,004 | 0,3-2,0 | N:51°16'18.3" E:22°32'49.6" | otoczenie stacji bazowej - 310m wzdłuż gł. osi promieniowania - GKP | 0,056 | 0,057 |
| 11 | 1,1 | 1,73 | 0,003 | 0,005 | 0,3-2,0 | N:51°16'23.2" E:22°32'33.9" | otoczenie stacji bazowej - 50m wzdłuż gł. osi promieniowania - GKP | 0,062 | 0,063 |
| 12 | 1,5 | 2,36 | 0,004 | 0,006 | 0,3-2,0 | N:51°16'22.5" E:22°32'31.6" | otoczenie stacji bazowej - 100m wzdłuż gł. osi promieniowania - GKP | 0,084 | 0,086 |
| 13 | 1,1 | 1,73 | 0,003 | 0,005 | 0,3-2,0 | N:51°16'21.8" E:22°32'29.2" | otoczenie stacji bazowej - 150m wzdłuż gł. osi promieniowania - GKP | 0,062 | 0,063 |
| 14 | 1,0 | 1,57 | 0,003 | 0,004 | 0,3-2,0 | N:51°16'21.1" E:22°32'26.9" | otoczenie stacji bazowej - 200m wzdłuż gł. osi promieniowania - GKP | 0,056 | 0,057 |
| 15 | 1,7 | 2,67 | 0,005 | 0,007 | 0,3-2,0 | N:51°16'20.4" E:22°32'24.6" | otoczenie stacji bazowej - 250m wzdłuż gł. osi promieniowania- GKP | 0,095 | 0,097 |
| 16 | 2,5 | 3,93 | 0,007 | 0,010 | 0,3-2,0 | N:51°16'19.5" E:22°32'21.3" | otoczenie stacji bazowej - 320m wzdłuż gł. osi promieniowania - GKP | 0,140 | 0,143 |
| 17 | 1,0 | 1,57 | 0,003 | 0,004 | 0,3-2,0 | N:51°16'22.2" E:22°32'36.4" | otoczenie stacji bazowej - 50m wzdłuż gł. osi promieniowania - GKP | 0,056 | 0,057 |
| 18 | 0,9 | 1,41 | 0,002 | 0,004 | 0,3-2,0 | N:51°16'20.7" E:22°32'36.6" | otoczenie stacji bazowej - 100m wzdłuż gł. osi promieniowania - GKP | 0,051 | 0,051 |
| 19 | 0,9 | 1,41 | 0,002 | 0,004 | 0,3-2,0 | N:51°16'24.8" E:22°32'39.0" | otoczenie stacji bazowej -PKP | 0,051 | 0,051 |
| 20 | 0,8 | 1,26 | 0,002 | 0,003 | 0,3-2,0 | N:51°16'26.8" E:22°32'39.5" | otoczenie stacji bazowej -PKP | 0,045 | 0,046 |
| 21 | 1,0 | 1,57 | 0,003 | 0,004 | 0,3-2,0 | N:51°16'23.5" E:22°32'40.8" | otoczenie stacji bazowej -PKP | 0,056 | 0,057 |
| 22 | 0,8 | 1,26 | 0,002 | 0,003 | 0,3-2,0 | N:51°16'20.9" E:22°32'37.7" | otoczenie stacji bazowej -PKP | 0,045 | 0,046 |
| 23 | 1,3 | 2,04 | 0,003 | 0,005 | 0,3-2,0 | N:51°16'24.1" E:22°32'32.9" | otoczenie stacji bazowej -PKP | 0,073 | 0,074 |
| 24 | 0,9 | 1,41 | 0,002 | 0,004 | 0,3-2,0 | N:51°16'27.1" E:22°32'33.7" | otoczenie stacji bazowej -PKP | 0,051 | 0,051 |
| 25 | 1,0 | 1,57 | 0,003 | 0,004 | 0,3-2,0 | N:51°16'25.1" E:22°32'33.1" | otoczenie stacji bazowej -PKP | 0,056 | 0,057 |
| A | 1,7 | 2,67 | 0,005 | 0,007 | 0,3-2,0 | N:51°16'30.8" E:22°32'37.0" | Harnasie 4a, pomiar w otworze okiennym, parter – DPP | 0,095 | 0,097 |
| B | 3,5 | 5,50 | 0,009 | 0,015 | 0,3-2,0 | N:51°16'22.6" E:22°32'41.2" | Harnasie 3, pomiar w otworze okiennym, piętro 4 – DPP | 0,197 | 0,200 |
| | 2,0 | 3,14 | 0,005 | 0,008 | 0,3-2,0 | | Harnasie 3, pomiar w otworze okiennym, piętro 3 – DPP | 0,112 | 0,114 |
| C | 1,7 | 2,67 | 0,005 | 0,007 | 0,3-2,0 | N:51°16'21.9" E:22°32'42.5" | Nosowskiego 2, pomiar w otworze okiennym, piętro 3 – DPP | 0,095 | 0,097 |
| D | 1,1 | 1,73 | 0,003 | 0,005 | 0,3-2,0 | N:51°16'22.9" E:22°32'29.3" | Halickiego 85, pomiar przed posesją – DPP | 0,062 | 0,063 |

Wynik pomiaru pole - E [V/m] - maksymalna wartość chwilowa zmierzona w danym pionie pomiarowym (uśredniona na podstawie punktu 11 załącznika do Rozporządzenia Ministra Klimatu z dnia 17 lutego 2020 r. w sprawie sposobów sprawdzania dotrzymania dopuszczalnych poziomów pól elektromagnetycznych w środowisku (Dz.U. 2022 poz. 2630)). Zgodnie z pkt. 7 załącznika do Rozporządzenia Ministra Klimatu z dnia 17 lutego 2020 r. w sprawie sposobów sprawdzania dotrzymania dopuszczalnych poziomów pól elektromagnetycznych w środowisku (Dz.U. 2022 poz. 2630) nie stosuje się poprawek pomiarowych.

Przyjęto najniższą dopuszczalną wartość składowej elektrycznej pola dla objętego pomiarami zakresu częstotliwości $\min(ME_{gr}) = 28 \text{ V/m}$ oraz składowej magnetycznej $\min(MH_{gr}) = 0,073 \text{ A/m}$.

* - wartość zmierzona poniżej zakresu akredytacji. Do obliczeń przyjęto wartość zgodną z dolną granicą akredytowanego zakresu pomiarowego metody.

GKP - główne kierunki pomiarowe

„Bez pisemnej zgody Laboratorium niniejsze sprawozdanie nie może być powielane inaczej, jak tylko w całości. Ponadto wyniki dotyczą tylko badanych obiektów przywołanych w niniejszym sprawozdaniu z badań”

PKP - pomocnicze kierunki pomiarowe

DPP - dodatkowe punkty pomiarowe

PP - pion pomiarowy

U - niepewność pomiarowa rozszerzona, przy poziomie ufności 95%, z uwzględnieniem współczynnika rozszerzenia $k=2$

WM_E - wartość wskaźnikowa poziomu emisji pól elektromagnetycznych dla miejsc dostępnych dla ludności dla składowej elektrycznej pola

WM_H - wartość wskaźnikowa poziomu emisji pól elektromagnetycznych dla miejsc dostępnych dla ludności dla składowej magnetycznej pola

7. Stwierdzenie zgodności

Na podstawie wytycznych podanych w Rozporządzeniu Ministra Zdrowia z dnia 17 grudnia 2019 r. w sprawie dopuszczalnych poziomów pól elektromagnetycznych w środowisku (Dz.U. 2019 poz. 2448) oraz sposobów sprawdzania dotrzymania tych poziomów zgodnie z Rozporządzeniem Ministra Klimatu z dnia 17 lutego 2020 r. w sprawie sposobów sprawdzania dotrzymania dopuszczalnych poziomów pól elektromagnetycznych w środowisku (Dz.U. 2022 poz. 2630), dotyczących źródła wymagań, które muszą być spełnione, w oparciu o zasadę podejmowania decyzji zgodną z pkt. 26 Rozporządzenia Ministra Klimatu z dnia 17 lutego 2020 r. (Dz.U. 2022 poz. 2630), na podstawie wyników pomiarów pól elektromagnetycznych wykonanych w dniu 23.11.2023r. stwierdzono, że wszystkie wyniki przeprowadzonych pomiarów w danym obszarze pomiarowym oraz wyznaczone na tej podstawie wskaźniki WME oraz WMH są mniejsze od wartości dopuszczalnych – zgodnie z przepisami wydanymi na podstawie art. 122 ust. 1 ustawy z dnia 27 kwietnia 2001 r. – Prawo ochrony środowiska – załącznikiem do Rozporządzenia Ministra Klimatu i Środowiska z dnia 17 lutego 2020 r. w sprawie sposobów sprawdzania dotrzymania dopuszczalnych poziomów pól elektromagnetycznych w środowisku (Dz.U. 2022 poz. 2630, pkt 26).

8. Oświadczenie.

Wyniki badania odnoszą się wyłącznie do badanego obiektu.

Bez pisemnej zgody sprawozdanie nie może być powielane inaczej, jak tylko w całości.

Uwagi i zastrzeżenia przyjmowane są w formie pisemnej.

9. Spis załączników.

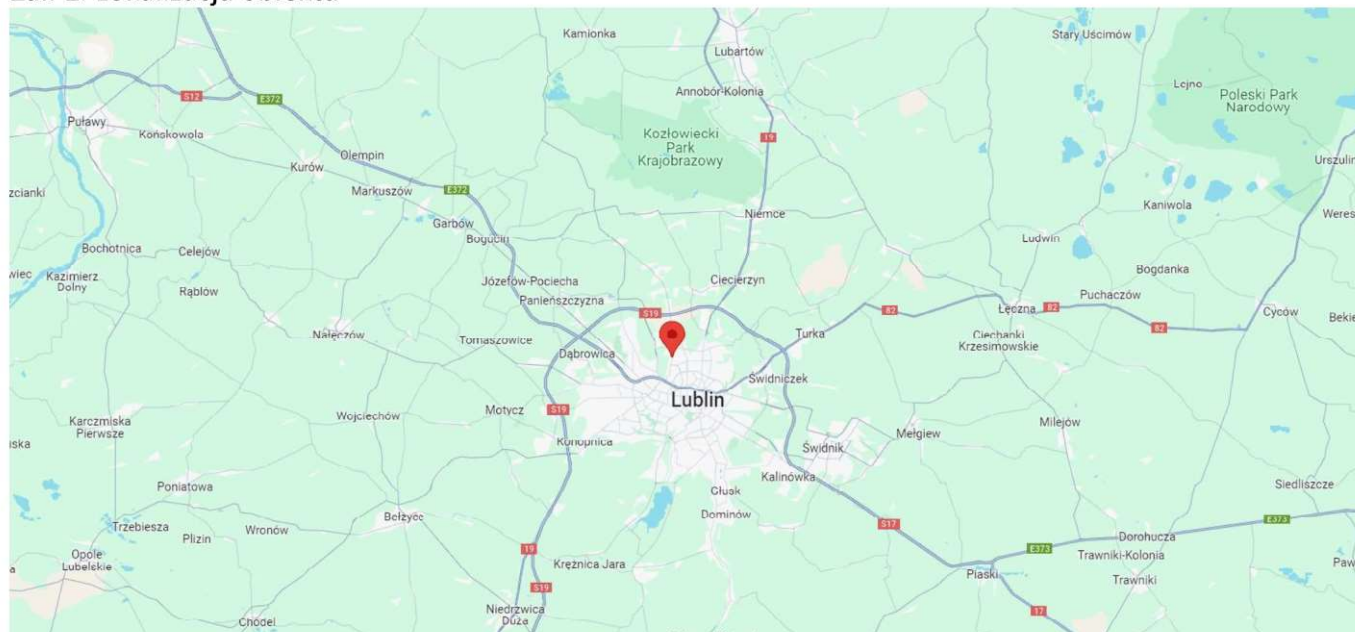
Zał. 1. Lokalizacja obiektu.

Zał. 2. Widok pionów pomiarowych

Zał. 3. Załączniki graficzne

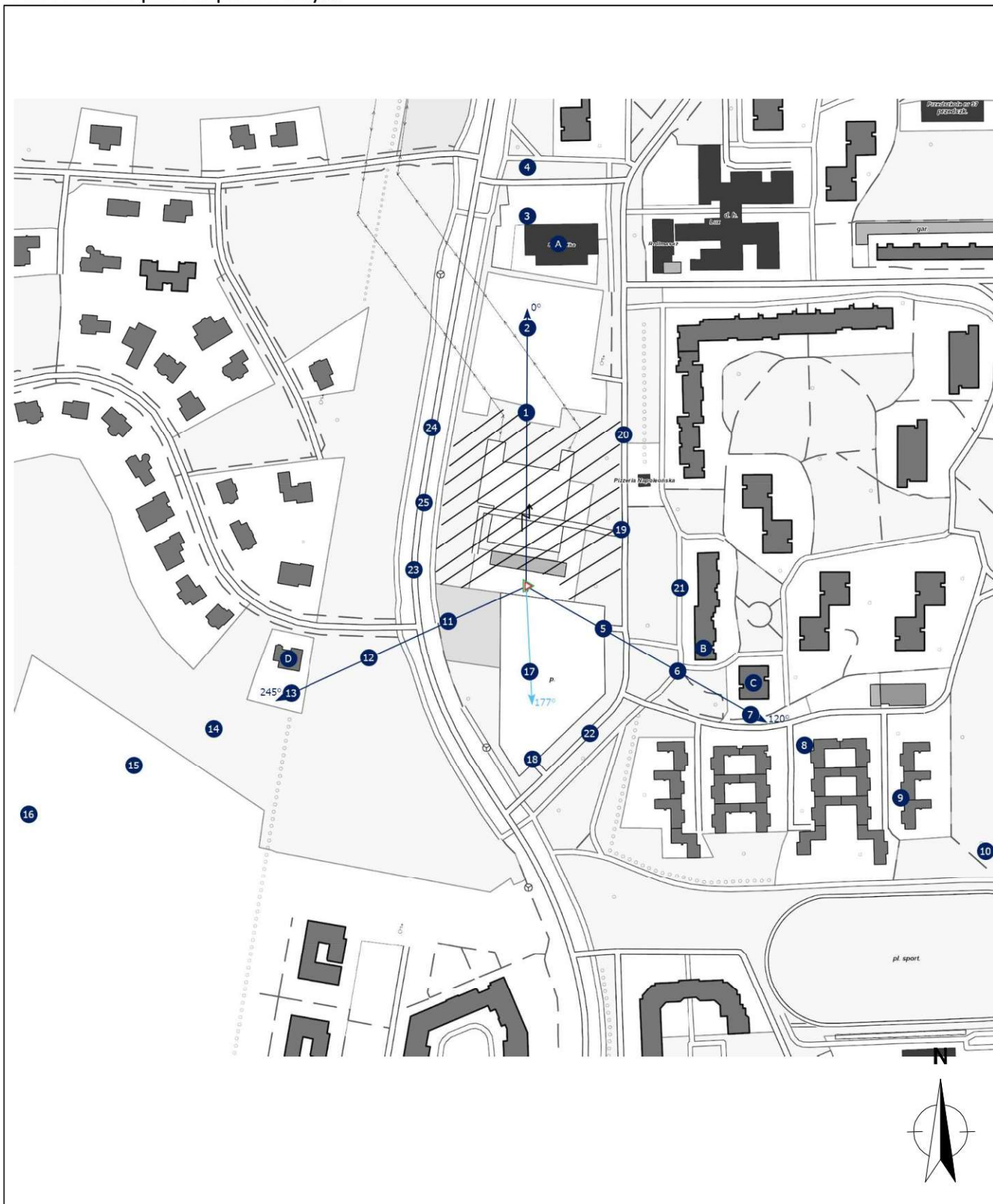
Koniec sprawozdania

Zał. 1. Lokalizacja obiektu






| Współrzędne geograficzne | |
|--------------------------|---------------|
| długość: | 22°32'36.23"E |
| szerokość: | 51°16'23.83"N |


Zał. 2. Widok pionów pomiarowych



LEGENDA:

-  inna instalacja telekomunikacyjna
-  instalacja telekomunikacyjna dla której wykonywano pomiar

 brak dostępu

 pion pomiaru

 antena sektorowa

 antena radiolowa

Skala:

1:3100



Załącznik 3. Załączniki graficzne.

